

lastung der übrigen Zonen ist auf die Ringspannung ohne Einfluss. Wir können demnach auch sagen, dass die größte Ringspannung in allen Ringen bei mobiler Belastung des ganzen Daches stattfindet.

Im Mauerring findet der größte Zug durch mobile Belastung bei totaler Belastung statt, und es ist derselbe

$$R_r^{p,max} = \frac{(P_1 + P_2 \dots + P_{r-1}) \cotg \alpha}{2 n \sin \frac{\pi}{n}} \dots \dots \dots 344.$$

Druck findet in demselben nicht statt.

δ) Spannungen in den Diagonalen. Für dieselbe Belastungsart, welche bei den Kuppeln zu Grunde gelegt ist, ergibt sich die Spannungsdifferenz in zwei benachbarten Sparren, zwischen denen die Belastungsgrenze liegt, zu

$$\Delta = \frac{\sum_1^m (P + G)}{n \sin \alpha} - \frac{\sum_1^m (G)}{n \sin \alpha} = \frac{\sum_1^m (P)}{n \sin \alpha}$$

und die Spannung in der Diagonalen, welche dieselbe übertragen soll, höchstens zu

$$Y = \frac{\sum_1^m (P)}{n \sin \alpha \cos \gamma},$$

wenn γ der Winkel zwischen der Diagonalen und dem Sparren ist. Demnach wird

$$Y_1 \leq \frac{P_1}{n \sin \alpha \cos \gamma_1};$$

$$Y_2 \leq \frac{P_1 + P_2}{n \sin \alpha \cos \gamma_2} \text{ etc.} \dots 345.$$

Um die Stabspannungen auf geometrischem Wege (Fig. 326 und 327) zu ermitteln, seien die Belastungen der einzelnen Knotenpunkte 1, 2, 3, 4; alsdann ergibt sich leicht, wenn $\alpha\beta = 1$, $\beta\gamma = 2$, $\gamma\delta = 3$, $\delta\varepsilon = 4$ gemacht wird, $\beta\zeta = S_1$, $\zeta\alpha = H_1$, $\gamma\eta = S_2$, $\eta\zeta = H_2$, $\delta\theta = S_3$, $\theta\eta = H_3$, $\varepsilon\kappa = S_4$, $\kappa\theta = H_4$; ferner $\varepsilon\alpha = D_0$, $\alpha\kappa = H_5$, $\zeta\lambda = R_1$, $\eta\mu = \mu\zeta = R_2$, $\theta\nu = \nu\eta = R_3$, $\kappa\sigma = \sigma\theta = R_4$ und $\alpha\sigma = \sigma\alpha = R_5$ (= Mauerringspannung).

Je nachdem nun die Kräfte 1, 2, 3, 4 die Eigengewichte oder die mobilen Lasten bedeuten, erhält man die durch die eine oder andere Belastung erzeugten Spannungen. Die Spannungen in den Diagonalen sind leicht zu construieren.

c) Steile Zeldächer (Thurmdächer).

Als verticale Belastung ist hier nur das Eigengewicht einzuführen. Eine Belastung durch Schnee findet nicht statt, weil wegen der großen Steilheit des Daches der Schnee nicht liegen bleibt. Diese verticale Belastung erzeugt, da die Con-

Fig. 326.

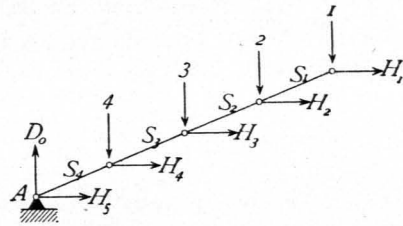
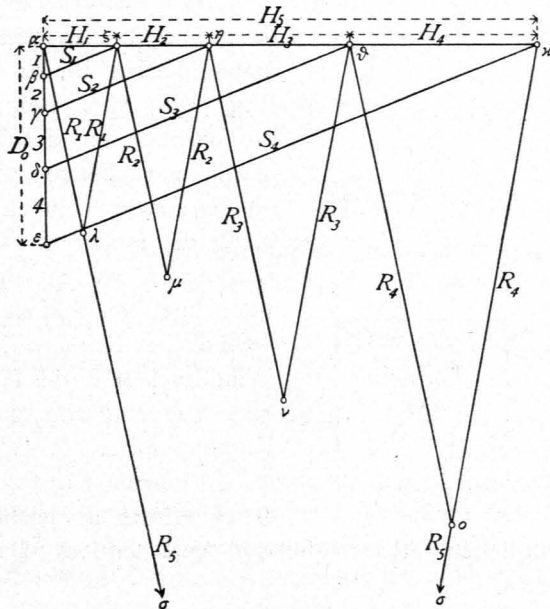


Fig. 327.



460. Graphische Ermittlung der Stabspannungen.

fruction genau so, wie bei den flachen Zeltdächern, aus Sparren und Ringen zusammengefügt wird, Spannungen, welche genau, wie dort gezeigt wurde, zu berechnen sind. Auf diese Berechnung soll deshalb hier nicht weiter eingegangen werden. Dagegen spielt der Winddruck hier eine große Rolle, und es sollen die durch diesen erzeugten Spannungen berechnet werden. Wir werden zunächst die Berechnung für ein vierseitiges Pyramidendach zeigen, für welches eine genaue Berechnung möglich ist.

1) Vierseitiges Pyramidendach.

461.
Belastung.

Der Winddruck auf eine Pyramidenseite ist am größten, wenn die Windrichtung im Grundriss normal zu der betreffenden Rechteckseite steht. Alsdann ist der Winddruck pro 1^{qm} schräger Dachfläche (Fig. 328 und 329) nach Gleichung 273. $v = 120 \sin^2(\alpha + 10^\circ)$; die vom Winde getroffene schräge Dachfläche ist

$$F = \frac{a \lambda}{2} = \frac{a h}{2 \sin \alpha},$$

mithin der Gesamtdruck gegen eine Pyramidenseite

$$N = \frac{a h v}{2 \sin \alpha} \quad 346.$$

Wir denken uns nun in der Symmetrieebene II einen ideellen Binder ACB (Fig. 330) und bestimmen die darin durch den Winddruck entstehenden Spannungen; wir nehmen vorläufig die Horizontalen und Diagonalen, wie in Fig. 330 gezeichnet, an. Auf ein oben befindliches Kreuz wirke ein Winddruck W in der Höhe e_0 über dem Firfipunkt C ;

außerdem wirken in den Knotenpunkten $C, E, F, G \dots$ die Kräfte $N_0, N_1, N_2, N_3 \dots$ normal zur Dachfläche; die Größe dieser Kräfte ist leicht aus den auf die

bezüglichen Knotenpunkte entfallenden Dachflächen zu ermitteln.

$\alpha)$ Berechnung der Spannungen im ideellen Binder.

Um die Sparrenspannung S_1 (Fig. 330) an der Windseite zu erhalten, lege man einen beliebigen Schnitt durch CE , etwa nach III , und betrachte das Fragment oberhalb des Schnittes. Wählt man \mathcal{F} als Momentenpunkt, so heißt die Gleichung der statischen Momente (Fig. 331):

$$0 = S_1 e_1 \sin \alpha - W(e_0 + e_1) - N_0 n_0.$$

Nun ist $\overline{C\mathcal{F}} = \frac{e_1}{\sin \alpha}$ und $\cos(180 - 2\alpha) = \frac{n_0}{C\mathcal{F}} = -\cos 2\alpha$, daher

Fig. 328.

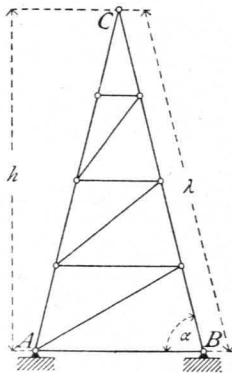


Fig. 329.

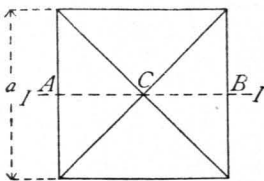


Fig. 330.

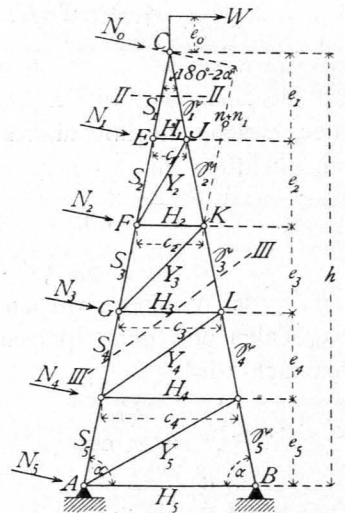
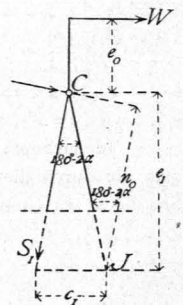


Fig. 331.



462.
Berechnung
d. Spannungen
im ideellen
Binder.

$n_0 = -\overline{CF} \cos 2\alpha = -\frac{e_1}{\sin \alpha} (\cos^2 \alpha - \sin^2 \alpha) = \frac{e_1 (\sin^2 \alpha - \cos^2 \alpha)}{\sin \alpha}$. Man erhält hiernach

$$S_1 = \frac{W(e_0 + e_1)}{c_1 \sin \alpha} + \frac{N_0 e_1 (\sin^2 \alpha - \cos^2 \alpha)}{c_1 \sin^2 \alpha}.$$

Für irgend einen Sparren FG ist K der conjugirte Punkt, und es ergibt sich S_3 aus der Momentengleichung

$$0 = S_3 c_2 \sin \alpha - W(e_0 + e_1 + e_2) - N_0(n_0 + n_1) - N_1 n_1 + N_2 c_2 \cos \alpha,$$

$$S_3 = \frac{1}{c_2 \sin \alpha} [W(e_0 + e_1 + e_2) + N_0(n_0 + n_1) + N_1 n_1 - N_2 c_2 \cos \alpha],$$

$$S_3 = \frac{1}{c_2 \sin \alpha} [W(e_0 + e_1 + e_2) + N_0(n_0 + n_1) + N_1 n_1] - N_2 \cotg \alpha.$$

Für irgend einen Sparren KL auf der Unterwindseite ist G der conjugirte Punkt und

$$0 = \mathfrak{S}_3 c_3 \sin \alpha + W(e_0 + e_1 + e_2 + e_3) + \frac{N_0(e_1 + e_2 + e_3)}{\sin \alpha} + \frac{N_1(e_2 + e_3)}{\sin \alpha} + \frac{N_2 e_3}{\sin \alpha},$$

woraus

$$\mathfrak{S}_3 = -\frac{1}{c_3 \sin \alpha} \left[W(e_0 + e_1 + e_2 + e_3) + \frac{N_0(e_1 + e_2 + e_3) + N_1(e_2 + e_3) + N_2 e_3}{\sin \alpha} \right].$$

Eben so ergeben sich leicht alle Sparrenspannungen, fowohl auf der Windseite, wie auf der Unterwindseite.

Die Sparren auf der Windseite werden gezogen, diejenigen auf der Unterwindseite werden gedrückt.

Die Spannungen in den Horizontalen und Diagonalen werden gleichfalls mittels der Momentenmethode ermittelt. Um die Spannung H_3 in GL zu finden, schneide man schräg nach $III III$; alsdann ist C der conjugirte Punkt, und die Momentengleichung für C heist

$$0 = H_3(e_1 + e_2 + e_3) - W e_0 + \frac{N_1 e_1}{\sin \alpha} + \frac{N_2(e_1 + e_2)}{\sin \alpha} + \frac{N_3(e_1 + e_2 + e_3)}{\sin \alpha},$$

woraus

$$H_3 = -\frac{N_1 e_1 + N_2(e_1 + e_2) + N_3(e_1 + e_2 + e_3)}{(e_1 + e_2 + e_3) \sin \alpha} + \frac{W e_0}{e_1 + e_2 + e_3}.$$

Die Spannung Y_3 endlich in der Diagonalen GK wird, da für GK wiederum C der conjugirte Punkt ist, durch die Momentengleichung für C gefunden. Dieselbe heist, wenn y_3 der Hebelsarm von Y_3 für den Momentenpunkt C ist,

$$0 = Y_3 y_3 + W e_0 - \frac{N_1 e_1}{\sin \alpha} - \frac{N_2(e_1 + e_2)}{\sin \alpha},$$

woraus

$$Y_3 = \frac{1}{y_3} \frac{N_1 e_1 + N_2(e_1 + e_2)}{\sin \alpha} - \frac{W e_0}{y_3}.$$

Ob die Diagonalen und Horizontalen Druck oder Zug erhalten, hängt von der Größe des Momentes $W e_0$ wesentlich ab. Ist $W = 0$, so werden bei der gezeichneten Richtung der Diagonalen die Horizontalen gedrückt, die Diagonalen gezogen. Bei der entgegengesetzten Windrichtung findet entgegengesetzte Beanspruchung statt.

463.
Graphische
Ermittlung
d. Spannungen
im ideellen
Binder.

β) Graphische Ermittlung der Spannungen im ideellen Binder. Wird zunächst von der Kraft W abgesehen, so ergibt sich ohne Schwierigkeit der in Fig. 332 gezeichnete Kräfteplan, worin alle Stabspannungen, welche durch Winddruck erzeugt werden, enthalten sind.

Fig. 332.

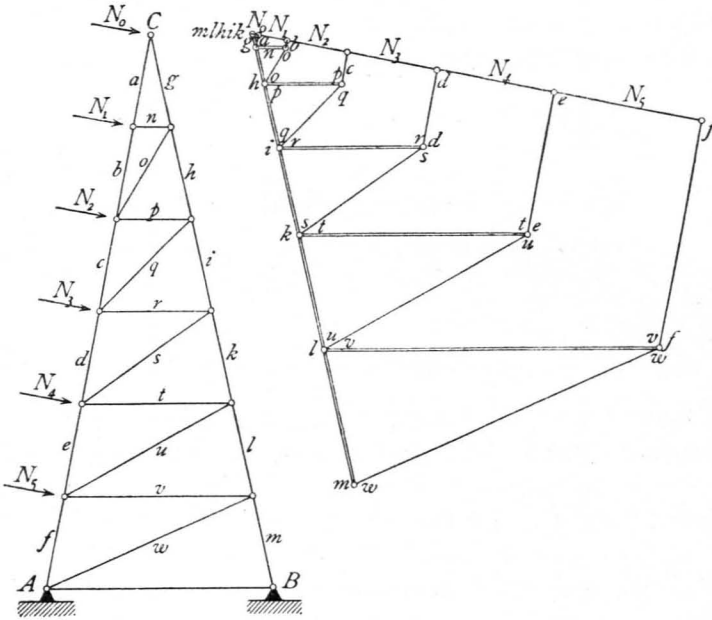
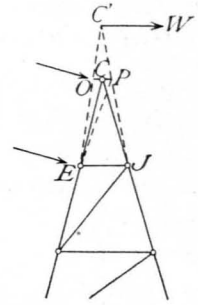


Fig. 333.



Falls noch ein Winddruck W vorhanden ist, so empfiehlt es sich, für die graphische Bestimmung der Spannungen statt der wirklich vorhandenen Stäbe EC und JC zwei Stäbe EC' und $J'C'$ einzuführen, wobei C' der Schnittpunkt der Kraft W mit der Mittelverticalen Fig. 333 ist; die Er-

mittlung kann dann für den Turm mit der Spitze $EOC'PJ'$ nach der Cremona'schen Methode erfolgen. Die Spannungen in EC und $J'C$ können mit geringem Fehler denjenigen, welche sich für EO und PJ' ergeben haben, gleich gesetzt werden.

464.
Wirkliche
Stab-
spannungen.

γ) Reduction der Spannungen im ideellen Binder auf die wirklichen Stabspannungen. Die bisher berechneten Spannungen finden im ideellen Binder ACB (Fig. 334) statt. Jede Spannung in einem Stabe des ideellen Binders wird nun durch zwei Stabspannungen der beiden wirklichen Binder geleistet, deren Ebenen mit derjenigen des ideellen Binders den Winkel $(90 - \alpha)$ einschließen.

Fig. 334.

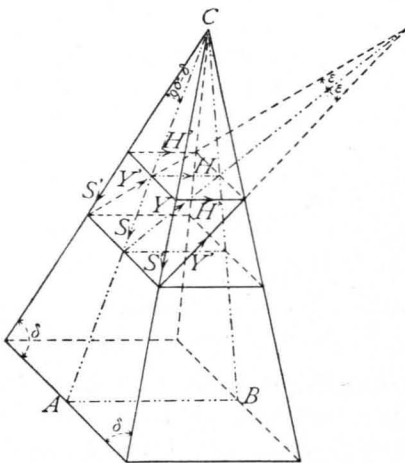


Fig. 335.



Die Spannung S in irgend einem Sparren des ideellen Binders wird durch zwei Spannungen S' ersetzt; demnach ist

$$S = 2 S' \cos (90 - \delta) = 2 S' \sin \delta,$$

woraus

$$S' = \frac{S}{2 \sin \delta}; \quad \cdot 346.$$

eben fo

$$\mathcal{E}' = \frac{\mathcal{E}}{2 \sin \delta} \dots \dots \dots 347.$$

Ferner wird

$$H = 2 H', \text{ woraus } H' = \frac{H}{2}; \dots \dots \dots 348.$$

$$Y = 2 Y' \cos \varepsilon, \text{ woraus } Y' = \frac{Y}{2 \cos \varepsilon} \dots \dots \dots 349.$$

Auch auf constructivem Wege ist die Reduction leicht durchzuführen. Man construire (Fig. 335) den Winkel $(90 - \delta)$, bzw. ε , was keine Schwierigkeiten macht. Ist $\sphericalangle r m n = 90 - \delta$, fo ist $\overline{m r} = \frac{\overline{m n}}{\sin \delta}$. Man trage demnach die Werthe für $\frac{S}{2}$ und $\frac{\mathcal{E}}{2}$ auf der Linie $m n$ ab, projicire diese Abschnitte auf $m r$; alsdann erhält man in den Projectionen die gefuchten wirklichen Sparrenspannungen. Eben fo ist die Division durch $\cos \varepsilon$ vorzunehmen.

Wenn einfache Diagonalen angeordnet werden, fo erhält jede derselben event. Zug und Druck; will man nur gezogene Diagonalen haben, fo sind Gegendiagonalen einzuführen, worüber nach Früherem (siehe Art. 390, S. 355) nichts hinzugefügt zu werden braucht.

2) Achtfeitiges Pyramidendach.

Wir nehmen hier die Windrichtung, der einfachen Rechnung halber, horizontal an und berechnen aus demselben Grunde den Winddruck fo, als wenn die Seitenflächen vertical ständen. Der dabei gemachte Fehler ist gering.

Wenn die Windrichtung im Grundriß normal zu der Seite $m n$ (Fig. 336) angenommen wird, die Seitenlänge des regulären Achteckes an der Unterkante der Pyramide mit a , die Höhe der Pyramide mit h und der Druck pro Flächeneinheit mit p bezeichnet wird, fo ist der Druck gegen die Fläche F demnach

$$W = \frac{p a h}{2} \dots 350.$$

Der Winddruck auf die Fläche F_1 ergibt sich unter obigen vereinfachenden Annahmen folgender Mafsen. Auf 1 qm der normal getroffenen Fläche $m n$ (Fig. 337) und deren Verlängerungen kommt ein Winddruck p ; einem Quadrat-Meter dieser Fläche entspricht aber $\frac{1}{\cos \gamma}$ der (immer vertical gedachten) Fläche $n o$; auf 1 qm der letzteren kommt also

Fig. 337.

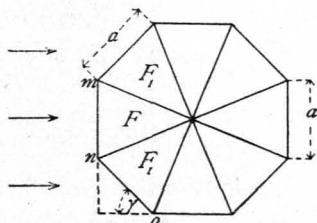
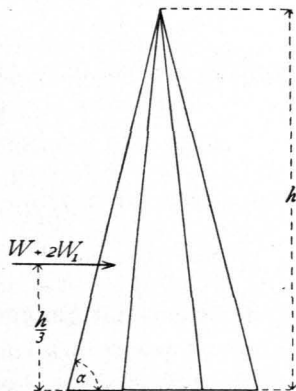


Fig. 336.

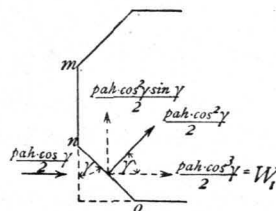
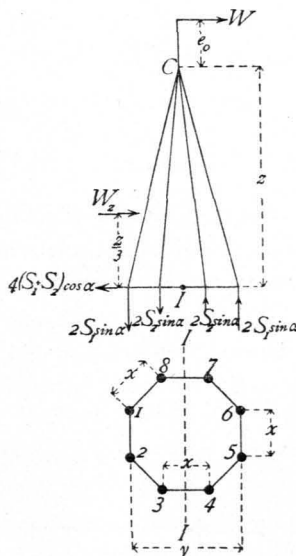


Fig. 338.



465.
Belastung.

ein Winddruck $\frac{p}{1} = p \cos \gamma$, mithin auf die ganze Fläche F_1 der Winddruck

$\frac{p \cos \gamma a h}{2}$. Von diesem Winddruck kommt nur die normal zur Fläche stehende

Componente zur Geltung, d. h. $\frac{p \cos \gamma a h}{2} \cos \gamma = \frac{p a h}{2} \cos^2 \gamma$.

Diese Componente zerlegt sich nun in eine Seitenkraft, welche dieselbe Richtung hat, wie W , und in eine normal hierzu stehende. Die erstere ist

$$W_1 = \frac{p a h \cos^3 \gamma}{2} \dots \dots \dots 351.$$

Ein genau gleicher Winddruck wirkt (Fig. 337) auf die andere Fläche F_1 ; mithin ist der gesammte Winddruck auf die Pyramide

$$W + 2 W_1 = \frac{p a h}{2} (1 + 2 \cos^3 45^\circ) = \frac{p a h}{2} \left(1 + \frac{2 \cos 45^\circ}{2}\right) = 0,854 p a h. \quad 352.$$

Der Angriffspunkt dieser Kraft liegt in der Höhe $\frac{h}{3}$ über der Basis der Pyramide.

Für irgend einen Pyramidentheil (Fig. 338) der Höhe z erhält man, wenn die Seite des Achteckes, welches für diesen Theil die Basis bildet, mit x und die ganze Basisbreite mit y bezeichnet wird,

$$W_z = 0,854 p x z \dots \dots \dots 353.$$

W_z greift in der Höhe $\frac{z}{3}$ über dieser Basis an.

466.
Spannungen
in den
Sparren.

Außer W_z wirke auf das Thurmkreuz (Fig. 338) noch ein Winddruck W in der Höhe e_0 über dem First; alsdann ist das Moment des Windes, bezogen auf die horizontale, in der Basis des betreffenden Thurmfstückes gelegene Schwerpunktsaxe II des Querschnittes

$$M_z = W_z \frac{z}{3} + W (e_0 + z) \dots \dots \dots 354.$$

Dieses Moment muß durch die Spannung der Sparren an der betrachteten Stelle aufgehoben werden.

Sind die Spannungen in den vier Sparren 1, 2, 5, 6, welche um $\frac{y}{2}$ von der Axe II abstehen, S_1 , diejenigen in den vier um $\frac{x}{2}$ von der Axe II abstehenden

Sparren 3, 4, 7, 8 gleich S_2 , so ist, wenn mit geringem Fehler der Sparrenwinkel gegen die Horizontalebene gleich α gesetzt wird, das Moment der Sparrenspannungen für die Axe II gleich $2 S_1 y \sin \alpha + 2 S_2 x \sin \alpha$; folglich muß $M_z = (2 S_1 y + 2 S_2 x) \sin \alpha$ sein. Man kann annehmen, daß bei gleicher Querschnittsfläche aller Sparren stattfindet

$$\frac{S_2}{S_1} = \frac{x}{y}, \text{ d. h. } S_2 = \frac{S_1 x}{y}, \text{ also } M_z = \left(2 S_1 y + \frac{2 S_1 x^2}{y}\right) \sin \alpha,$$

$$M_z = \frac{2 S_1}{y} (y^2 + x^2) \sin \alpha, \text{ woraus } S_1 = \frac{M_z y}{2 (x^2 + y^2) \sin \alpha} \dots \dots \dots 355.$$

Für M_z sind der Reihe nach die Werthe einzuführen, welche sich bei den verschiedenen Höhen z ergeben. Diese Spannung kann in jedem Sparren sowohl

als Zug, wie als Druck stattfinden, weil der Wind von allen Seiten kommen kann. Man erhält demnach

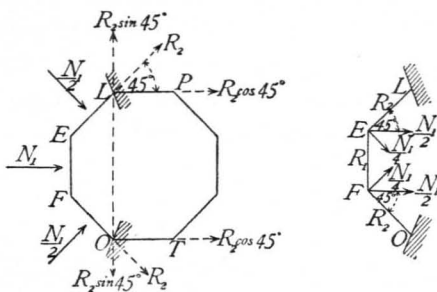
$$S = \pm \frac{M_x y}{2(x^2 + y^2) \sin \alpha} \dots \dots \dots 355a.$$

Die genaue Berechnung der bei einseitiger Windbelastung in den Ringen und in den Diagonalen entstehenden Spannungen ist sehr complicirt. Wir machen, um eine einfache Rechnung zu erhalten, die Annahme, daß wir, wenn der Wind die Flächen EF , FO und EL (Fig. 339) beaufschlagt, die Punkte L und O als feste Stützpunkte betrachten können. Alsdann wirkt auf EF die Kraft N_1 , auf EL und FO je $N_1 \cos^2 45^\circ = \frac{N_1}{2}$; in E und F wirken alsdann je $\frac{N_1}{2}$ und $\frac{N_1}{4}$, wie in Fig. 340 gezeichnet. Die Gleichgewichtsbedingungen für Punkt F lauten nun:

467.
Spannungen
in den
Ringen.

Fig. 339.

Fig. 340.



$$0 = R_1 + \frac{N_1}{4} \sin 45^\circ - R_2 \sin 45^\circ \quad \text{und} \quad 0 = R_2 \cos 45^\circ + \frac{N_1}{2} + \frac{N_1}{4} \cos 45^\circ,$$

woraus

$$R_2 = - \frac{N_1 \left(\frac{1}{2} + \frac{1}{4} \cos 45^\circ \right)}{\cos 45^\circ} = - \frac{N_1}{2} \left(\frac{1}{\cos 45^\circ} + \frac{1}{2} \right) = - 0,957 N_1 \quad . \quad 356.$$

$$R_1 = R_2 \sin 45^\circ - \frac{N_1}{4} \sin 45^\circ = - \frac{N_1}{2} \left(\frac{\sin 45^\circ}{\cos 45^\circ} + \frac{\sin 45^\circ}{2} + \frac{\sin 45^\circ}{2} \right),$$

$$R_1 = - 0,854 N_1 \dots \dots \dots 357.$$

Da der Wind von allen Seiten kommen kann, so sind alle Ringtheile für die Spannung $R_2 = - 0,957 N_1$ zu dimensioniren.

Um die in den Dachflächen angebrachten Diagonalen zu berechnen, bestimme man die auf die einzelnen Punkte L , bezw. O (Fig. 339 u. 340) wirkenden horizontalen Kräfte. Auf L und O wirkt je R_2 , und es zerlegt sich R_2 jederseits in eine Componente $R_2 \cos 45^\circ$, welche in die Linie LP , bezw. OT fällt, und in eine normal dazu gerichtete Componente $R_2 \sin 45^\circ$, welche in die Richtung LO fällt. Um die beiden letzteren Componenten aufzuheben, empfiehlt sich die Anbringung der Zughorizontalen LO , die in Fig. 339 punktirt ist; der in dieser herrschende Zug ist $R_2 \sin 45^\circ$. Die in die Ebene LPC , bezw. OTC fallenden Componenten sind nun durch das in diesen angeordnete Gitterwerk auf die festen Stützpunkte der Thurmbasis zu übertragen. Um die Diagonalen zu berechnen, denken wir wieder zunächst die beiden Dachflächen durch einen in der Symmetrieebene liegenden, ideellen Binder ersetzt, ermitteln die unter dem Einflusse der Lasten $R_2 \cos 45^\circ$ in demselben entstehenden Diagonalspannungen auf bekannte Weise und finden aus diesen ideellen Diagonalspannungen die wirklichen Diagonalspannungen genau so, wie in Art. 464, S. 434 angegeben ist. Als Belastung der einzelnen Knotenpunkte des ideellen Binders ist selbstverständlich überall $2 R_2 \cos 45^\circ$ einzuführen.

468.
Spannungen
in den
Diagonalen.

3) Stabilität der Thurmdächer.

Durch die Windbelastung werden die Sparren an der Windseite auf Zug, diejenigen an der Unterwindseite auf Druck beansprucht; durch das Eigengewicht erhalten alle Sparren Druck. Wenn der in dem Sparren mögliche grösste Zug in Folge des Winddruckes grösser ist, als der durch das Eigengewicht erzeugte Druck, so ist Gleichgewicht nur möglich, wenn auf den Sparren Seitens des Auflagers ein Zug ausgeübt wird, welcher wenigstens so gross ist, wie der grösste im Sparren herrschende resultirende Zug. Dieser Zug Seitens des Auflagers wird durch Verankerung der Sparren mit dem Thurmmauerwerk erzeugt, und es muss das Gewicht des an den Anker gehängten Mauerwerkes, welches als Zug auf den Sparren wirkt, wenigstens so gross sein, wie der grösstmögliche Zug in demselben. Es empfiehlt sich, die Verankerung weiter hinabzuführen, etwa so weit, dass das Mauergewicht doppelt so gross ist, als der grösste Zug im Sparren.

Literatur.

Bücher über »Statik der Dachstühle«.

- UNWIN, W. *Wrought-iron bridges and roofs etc.* London 1870.
 CORDIER, E. *Equilibre stable des charpentes en fer, bois et fonte.* Paris 1872.
 RITTER, Dr. A. *Elementare Theorie und Berechnung eiserner Dach- und Brücken-Constructionen.* 3. Aufl. Hannover 1873.
 FABRÉ, V. *Théorie des charpentes, donnant des règles pratiques pour la construction des fermes et autres appareils en bois et en fonte.* Paris 1873.
 CARGILL, Th. *The strains upon bridge girders and roof trusses etc.* London 1873.
 SHREVE, S. *A treatise on the strength of bridges and roofs etc.* New-York 1873.
 TETMAJER, L. *Die äusseren und inneren Kräfte an statisch bestimmten Brücken- und Dachstuhl-Constructionen.* Zürich 1875.
 NICOUR, Ch. *Calcul d'un comble en fer du système Polonceau.* Paris 1875.
 SCHWEDLER, W. *Die Construction der Kuppeldächer.* 2. Aufl. Berlin 1878.
 TRÉLAT, E. *La rigidité dans les combles.* Paris 1878.
 Deutsche bautechnische Taschenbibliothek. Heft 10: *Berechnung der Dachwerke.* Von W. Jeep. Leipzig 1876.

4. Abschnitt.

Gewölbe.

469.
Allgemeines.

Die Gewölbe sind aus einzelnen, mehr oder weniger keilförmig gestalteten Elementen zusammengesetzte Bauconstructionen, welche bei verticalen Belastungen schiefe Drücke auf die sie stützenden Constructionstheile ausüben. Indem wir die verschiedenen Gewölbearten hier als bekannt voraussetzen, bemerken wir, dass wir uns im vorliegenden Abschnitt hauptsächlich mit den Tonnen-, bezw. Kappengewölben, den Kreuzgewölben und den Kuppelgewölben beschäftigen werden, auf welche alle anderen Gewölbearten leicht zurückgeführt werden können.

Der allgemeinen theoretischen Untersuchung soll das Tonnen-, bezw. Kappengewölbe zu Grunde gelegt werden; dabei werden wir stets, falls nichts Anderes